

# KVALITET SUNĐERASTIH KRPA OCENJEN NA OSNOVU PREKIDNIH SVOJSTAVA

**Koviljka A. Asanović<sup>1\*</sup>, Mirjana M. Kostić<sup>1</sup>, Tatjana V. Mihailović<sup>1</sup>**

<sup>1</sup> Katedra za tekstilno inženjerstvo, Tehnološko-metalurški fakultet,  
Univerzitet u Beogradu,  
\* e-mail: koka@tmf.bg.ac.rs

**Naučni rad**  
UDC: 677.075.5.0.7.4  
DOI: 10.5937/tekstind1901012A

**Apstrakt:** U radu su ispitivana prekidna svojstva dve grupe sunđerastih krpa dostupnih na tržištu Republike Srbije. Jednu grupu su činile sunđeraste krpe dobijene od mešavine viskoze i pamuka (uzorci 1-3), dok je druga grupa obuhvatala krpe ojačane poliestarskom mrežom (uzorci 4 i 5). Od prekidnih svojstava su određivani prekidna sila, prekidno izduženje, sila probijanja i hod kugle pri probijanju. Ispitivanja su realizovana na uzorcima neposredno nakon njihovog vađenja iz komercijalnog pakovanja (mokri uzorci), i sušenja na vazduhu ( $T=30\text{ }^{\circ}\text{C}$ ,  $\varphi=40\%$ ) u trajanju od dva dana (suvi uzorci). Dobijeni rezultati su pokazali da su ispitivana prekidna svojstva u funkciji sirovinskih sastava krpa i vlažnosti ispitivanih uzoraka, dok su prekidna sila i prekidno izduženje takođe i u funkciji pravca ispitivanja (uzdužni ili poprečni). Rezultati ocene kvaliteta ispitivanih krpa, dobijeni na osnovu kompleksnog koeficijenta kvaliteta, pokazali su da samo uzorak 3 poseduje dobar kvalitet, dok ostala četiri uzorka imaju odličan kvalitet kako u mokrom, tako i u suvom stanju.

**Ključne reči:** sunđeraste krpe, kvalitet, prekidna sila, prekidno izduženje, sila probijanja, hod kugle pri probijanju.

## QUALITY OF SPONGE CLOTHS EVALUATED ON THE BASIS OF THEIR STRENGTH PROPERTIES

**Abstract:** In this paper, the strength properties of the two groups of sponge cloths available on the market of the Republic of Serbia were investigated. One group of sponge cloths was made of viscose - cotton fiber blend (Samples 1 to 3), while the other group was reinforced with a polyester net (Samples 4 and 5). Strength properties of investigated cloths were determined based on tensile strength, tensile elongation, bursting strength and ball traverse elongation. Investigations were carried out on samples immediately after their removal from commercial packaging (wet samples) and drying on the air ( $T=30\text{ }^{\circ}\text{C}$ ,  $\varphi=40\%$ ) in the duration of two days (dry samples). The obtained results showed that examined strength properties are in a function of the raw material composition of the sponge cloth and moisture content in the investigated samples, while the tensile strength and tensile elongation are also in a function of the direction of the investigation (machine direction or cross direction). The results of the quality assessment of the investigated sponge cloths, obtained based on the complex criterion of quality, showed that only the sample 3 has good quality, while the other four samples have excellent quality, both in wet and dry condition.

**Key words:** sponge cloths, quality, tensile strength, tensile elongation, bursting strength, ball traverse elongation

## 1. UVOD

Danas ne postoji opšteprihvaćena definicija netkanih tekstilnih materijala zbog brzog razvoja tehnologija njihovog dobijanja, kao i različitih stavova o tome kada se neki tekstilni materijal prestaje smatrati konvencionalnim, a počinje smatrati netkanim tekstilnim materijalom. Najopštija definicija netkanih tekstilnih materijala koja glasi "Netkani tekstilni materijali predstavljaju tekstilnu strukturu proizvedenu povezivanjem ili preplitanjem vlakana, naknadno učvršćenu mehaničkim, termičkim, hemijskim ili kombinovanim putem" je dostupna u ASTM (The American Society for Testing and Materials) standardima [1]. Netkani tekstilni materijali se mogu dobiti iz veoma kratkih vlakana, reda nekoliko milimetara, iz vlakana čije su dužine karakteristične za izradu tradicionalnog tekstila, ili pak od veoma dugačkih (filament) niti. Svojstva netkanih tekstilnih materijala se mogu podesiti u širokim granicama, zahvaljujući odabiru odgovarajućih parametara procesa proizvodnje kao što su: izbor vlakana, tehnološkog postupka i načina učvršćivanja, izbor postupka i vrste dorade, i slično. Variranjem navedenih parametara proizvodnje moguće je dobiti netkane materijale sa povećanom sposobnošću apsorpcije i zadržavanja vode, povećanim zadržavanjem prljavštine, visokim performansama čišćenja uz malu masu materijala, dobrim higijenskim karakteristikama, dobrom jačinom, mekoćom i elastičnošću, velikom slobodnom unutrašnjom zapreminom, itd. Zahvaljujući navedenim svojstvima, netkani tekstilni materijali nalaze primenu u skoro svim oblastima industrije i svakodnevnog života i sve češće se upotrebljavaju kao alternativa za tradicionalne tekstilne materijale, npr. u oblasti higijene i zaštite zdravlja, u automobilskoj industriji, za topotnu i zvučnu izolaciju, za izradu podnih obloga, za izradu nameštaja, u agroindustriji i slično [1-3].

Netkani tekstilni materijali su visoko porozni materijali sa poroznošću koja je veća od 50% i obično iznosi oko 80% [4], što ove materijale čini veoma pogodnim za održavanje higijene u domaćinstvu [5]. Poželjno je da materijali za održavanje higijene u domaćinstvu, kao što su visokoapsorbujuće krpe, peškir i sunđerasti artikli, pored dobrih sorpcionih svojstava (npr. povećane sposobnosti apsorpcije i zadržavanja vode) poseduju i zadovoljavajuću jačinu, što doprinosi njihovom sveobuhvatnom kvalitetu. Stoga je cilj ovog rada bio da se ispita kvalitet sunđerastih krpa, na osnovu njihovih prekidnih svojstava kao što su: prekidna sila, prekidno izduženje, sila probijanja i hod kugle pri probijanju.

## 2. MATERIJAL I METODE

### 2.1. Materijal

Kao eksperimentalni materijal korišćene su komercijalne sunđeraste krpe koje svoju primenu nalaze za održavanja higijene u domaćinstvu, a koje su dostupne na tržištu Republike Srbije. Osnovne karakteristike ispitivanih uzoraka date su u tabeli 1. Sirovinski sastav prikazan u tabeli 1 je preuzet sa deklaracije proizvoda, a površinska masa i debljina ispitivanih uzoraka određene su eksperimentalnim putem odmah nakon uimanja uzoraka iz komercijalnih pakovanja.

**Tabela 1:** Strukturne karakteristike ispitivanih uzoraka

Broj uzorka	Sirovinski sastav	Površinska masa, g/m <sup>2</sup>	Debljina, mm
Uzorci bez poliestarske mreže			
1.	regenerisana celuloza/pamuk (70/30 %)	631	4,33
2.	celuloza/pamuk (70/30 %)	667	4,51
3.	viskoza/pamuk (70/30 %)	800	4,26
Uzorci sa poliestarskom mrežom			
4.	alveolarni celulozni proizvod	536	3,91
5.	alveolarni celulozni proizvod od drvne pulpe ojačan poliestarskom mrežom	574	3,81

### 2.2. Metode

#### 2.2.1. Određivanje strukturnih karakteristika

Površinska masa ispitivanih sunđerastih krpa određena je merenjem mase uzorka površine 100 cm<sup>2</sup> na analitičkoj vagi sa preciznošću od 0,0001 g i naknadnim preračunavanjem mase uzorka na površinu od 1 m<sup>2</sup>. Debljina je izmerena primenom merača debljine (AMES, tip 414-10, USA) pri pritisku od 9,96 kPa.

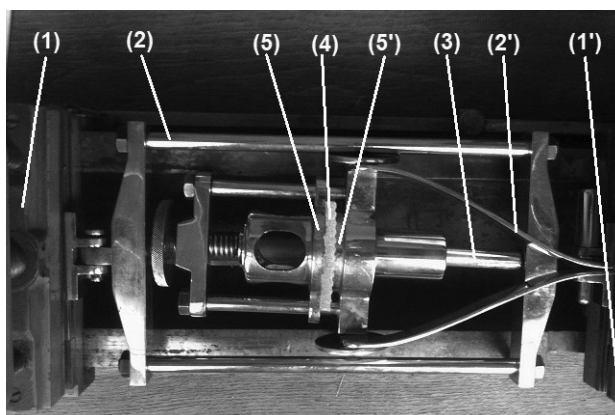
#### 2.2.2. Određivanje prekidnih karakteristika

Prekidna svojstva sunđerastih krpa određena su odmah nakon njihovog vađenja iz komercijalnog pa-

kovanja (mokri uzorci) i sušenja na vazduhu ( $T=30\text{ }^{\circ}\text{C}$ ,  $\varphi=40\%$ ) u trajanju od dva dana (suvi uzorci).

Prekidna sila ( $F$ , N) i prekidno izduženje ( $l$ , mm) određeni su primenom dinamometra *Textest*, Switzerland. Ispitivanja su realizovana na epruvetama isečenim u pravcu proizvodnje mašine (uzdužni pravac-*UP*) i na epruvetama isečenim normalno na pravac proizvodnje mašine (poprečni pravac-*PP*), kao što je definisano standardom ISO 9073-3 [6]. Širina svake epruvete je bila 50 mm, a merna dužina je iznosila 100 mm.

Sila probijanja ( $F_b$ , N) i hod kugle pri probijanju ( $l_b$ , mm) su određeni korišćenjem dinamometra AVK Budapest, tip SZ KG-2 i priključnog elementa (Slika 1) koji se montira u stege dinamometra (1) i (1'). Priključni element se sastoji od dva rama (2) i (2') i čvrste kugle (prečnika kugle 9,5 mm) fiksirane za polugu (3). Kugla probija epruvetu (4) kružnog oblika (prečnik epruvete 12,5 mm) postavljenu između stega (5) i (5') u obliku prstena.



**Slika 1:** Priključni element koji se montira u stege dinamometra za određivanje sile probijanja i hoda kugle pri probijanju

Određivanje prekidnih svojstava realizovano je na sobnoj temperaturi. Rezultati prikazani u radu predstavljaju aritmetičku srednju vrednost pet merenja.

### 2.2.3. Određivanje sadržaja vlage

Sadržaj vlage u uzorcima ( $w$ , %), je određen gravimetrijskom metodom, a izračunat primenom sledeće formule:

$$w = \frac{m_p - m_k}{m_p} \cdot 100 \quad (1)$$

gde je:  $m_p$  (g) - masa uzorka pre sušenja do konstantne mase, a  $m_k$  (g) - masa uzorka posle sušenja do konstantne mase u sušnici na temperaturi od  $105\text{ }^{\circ}\text{C}$ .

### 2.2.4. Određivanje ocene kvaliteta ispitivanih uzoraka

Ocena kvaliteta je izražena kroz vrednost bezdimenzionog pokazatelja kvaliteta (tzv. koeficijenata usaglašenosti -  $Q$ ). Koeficijent usaglašenosti se određuje pomoću izraza:

$$Q = \frac{X}{X_E} \text{ (za } X < X_E \text{)} \text{ ili}$$

$$Q = \frac{X_E}{X} \text{ (za } X_E < X \text{)} \quad (2)$$

gde je:  $X_E$  – etalonska vrednost,  $X$  – srednja vrednost ispitivanog svojstva. U slučaju nedostatka etalonske vrednosti, koristi se minimalna ili maksimalna vrednost ispitivanog svojstva koja označava najbolji kvalitet ispitivanog materijala [7-9]. U ispitivanjima sprovedenim u okviru ovog rada, najveće vrednosti ispitivanih svojstava označavale su najbolji kvalitet uzoraka.

Za kompleksno ocenjivanje na osnovu više ispitivanih svojstava, što je i bio slučaj u ovom radu, moguće je na osnovu pojedinačnih pokazatelja kvaliteta (tj. koeficijenata usaglašenosti -  $Q_1, \dots, Q_6$ ), postaviti kompleksni koeficijent kvaliteta ( $Q_K$ ) [8, 9]:

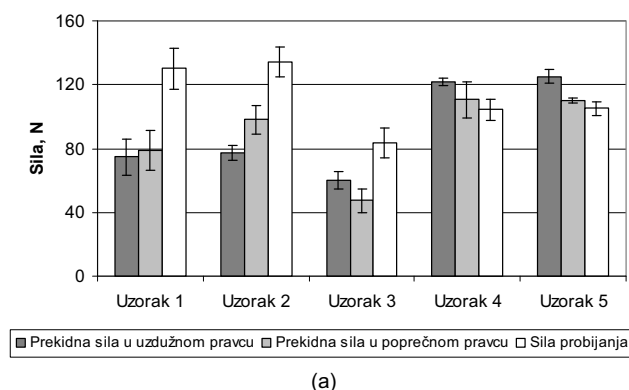
$$Q_K = \frac{\sum_{i=1}^n n_i}{\sum_{i=1}^n \frac{1}{Q_i}} = \frac{6}{\frac{1}{Q_1} + \dots + \frac{1}{Q_6}} \quad (3)$$

gde je:  $Q_1$  – koeficijent usaglašenosti za prekidnu силу у уздуžном правцу,  $Q_2$  – коeficijent usaglašenosti за prekidno izduženje у уздуžном правцу,  $Q_3$  – коeficijent usaglašenosti за prekidnu силу у попреčном правцу,  $Q_4$  – коeficijent usaglašenosti за prekidno izduženje у попреčном правцу,  $Q_5$  – коeficijent usaglašenosti за силу probijanja и  $Q_6$  – коeficijent usaglašenosti за hod kugle pri probijanju.

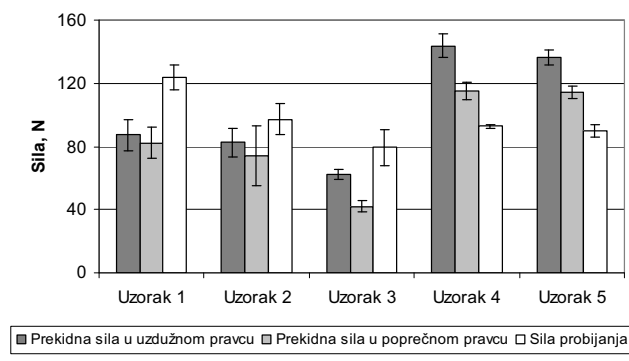
Vrednosti kompleksnog koeficijenta kvaliteta, koje ukazuju na kvalitet proizvoda, date su u tabeli 2 [8].

**Tabela 2:** Gradacija kvaliteta [8]

Interval vrednosti kompleksnog koeficijenta kvaliteta	Kvalitet
0,76 – 1,00	Odličan
0,51 – 0,75	Dobar
0,26 – 0,50	Zadovoljavajući
0,00 – 0,25	Loš



(a)



(b)

**Slika 2:** Prekidna sile i sila probijanja sunđerastih krpa:  
(a) mokri uzorci, (b) suvi uzorci

### 3. REZULTATI I DISKUSIJA

#### 3.1. Prekidna svojstva sunđerastih krpa

Rezultati određivanja prekidne sile u uzdužnom i poprečnom pravcu kao i sile probijanja sunđerastih krpa odmah nakon njihovog vađenja iz komercijalnog pakovanja (mokri uzorci), i sušenja na vazduhu ( $T=30\text{ }^{\circ}\text{C}$ ,  $\varphi=40\%$ ) u trajanju od dva dana (suvi uzorci), prikazani su na slici 2.

Iz rezultata prikazanih na slici 2 uočava se razlika između prekidne sile određene na uzorcima u uzdužnom i u poprečnom pravcu. Razlog za ovakvo ponašanje je verovatno posledica različite orijentacije vlakana u ispitivanim uzorcima. Histogrami prikazani na slici 2a pokazuju da je kod uzorka 1 i 2 prekidna sile veća u poprečnom pravcu, dok je kod uzorka 3, 4 i 5 uočen suprotan trend, odnosno, veća vrednost prekidne sile u uzdužnom pravcu. Rezultati sprovedene statističke analize primenom Studentovog ( $t$ ) testa (tabela 3) su pokazali da samo kod uzorka 1 ne postoji statistički značajna razlika u prekidnoj sili određenoj u uzdužnom i poprečnom pravcu. Kod svih uzorka ispitivanih nakon sušenja (slika 2b), registrovana je niža vrednost prekidne sile određene u poprečnom, u odnosu na uzdužni pravac. Međutim, statistički značajna razlika u prekidnoj sili određenoj u uzdužnom i poprečnom pravcu je registrovana samo za uzorce 3, 4 i 5.

Rezultati prikazani na slici 2 pokazuju da postoje razlike između prekidnih sila mokrih i suvih uzoraka, što je rezultat udaljavanja molekula vode koji su se nalazili u uzorcima zapakovanim u komercijalnom pakovanju. Uočava se da uzorci imaju nižu vrednost prekidne sile u komercijalnom (mokrom) stanju,

**Tabela 5:** Statistička analiza za ispitivana prekidna svojstva sunđerastih krpa

Ispitivano svojstvo	Parametar $ t $	Uzorak 1	Uzorak 2	Uzorak 3	Uzorak 4	Uzorak 5
Prekidna sile	$ t _{mUP/mPP}$	0,62	5,15***	3,57**	2,49*	8,24***
	$ t _{sUP/sPP}$	0,90	0,98	11,32***	7,90***	9,49***
	$ t _{mUP/sUP}$	2,10	1,17	0,82	7,39***	4,47**
	$ t _{mPP/sPP}$	0,58	2,91*	1,65	0,92	2,29
Prekidno izduženje	$ t _{mUP/mPP}$	4,07**	1,59	11,39***	2,33*	8,62***
	$ t _{sUP/sPP}$	4,78**	3,57**	19,17***	0,84	0,73
	$ t _{mUP/sUP}$	6,17***	6,18***	4,03**	8,12***	16,73***
	$ t _{mPP/sPP}$	3,68**	0,64	1,02	6,07***	16,67***
Sila probijanja	$ t _{m/s}$	1,01	6,89***	0,78	4,24**	6,48***
Hod kugle pri probijanju	$ t _{m/s}$	5,73***	2,23	0,25	5,72***	4,36**

Legenda:  $m$  – mokri uzorci;  $s$  - suvi uzorci;  $UP$ – prekidna sile ili prekidno izduženje određeno na uzorcima u uzdužnom pravcu;  $PP$  – prekidna sile ili prekidno izduženje određeno na uzorcima u poprečnom pravcu; \*-nivo značajnosti 0,05; \*\*- nivo značajnosti 0,01; \*\*\*-nivo značajnosti 0,001.

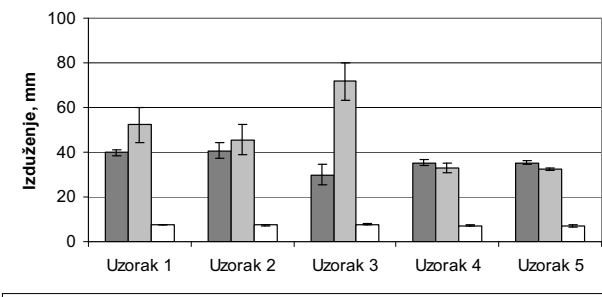
nego u suvom stanju. Razlog za ovakvo ponašanje sunđerastih krpa 1, 2 i 3 leži u njihovom sirovinskom sastavu. Za ova tri uzorka je karakteristično prisustvo većeg procentnog udela regenerisane celuloze tj. viskoze (70%) u odnosu na pamuk (30%). Iz literature je poznato da viskoza gubi jačinu u mokrom stanju [1], što je razlog manje jačine mokrih, u odnosu na suve uzorke. Ista zakonitost (niža vrednost prekidne sile mokrih uzoraka u odnosu na suve uzorke) je uočena i kod uzorka 4 i 5, što je takođe posledica kako niže vrednosti prekidne sile za regenerisanu celulozu, tako i nešto niže prekidne sile PES vlakana u mokrom stanju, nego u suvom stanju [1]. Rezultati sprovedene statističke analize prikazane u tabeli 3, pokazuju da je odležavanje uzorka na vazduhu kod uzorka 4 i 5 dovelo do statistički značajne promene u prekidnoj sili određenoj u uzdužnom pravcu, a kod uzorka 2 određenom u poprečnom pravcu.

Ispitivani uzorci su se međusobno razlikovali i u vrednostima sile probijanja (slika 2). U oba ispitivana stanja (mokrom i suvom) uzorak 3 je imao najnižu vrednost sile probijanja. Kod svih uzorka su registrovane niže vrednosti sile probijanja suvih, u odnosu na mokre uzorke, ali je statistička analiza (tabela 3) pokazala da su te razlike statistički značajne kod uzorka pod rednim brojem 2, 4 i 5. Razlog za nižu vrednost sile probijanja uzorka u suvom u odnosu na uzorke u mokrom stanju verovatno leži u činjenici da udaljavanje vode iz uzorka dovodi do porasta broja pora u uzorku ispunjenih vazduhom, što je praćeno smanjenjem mase uzorka za čije probijanje je potrebno upotrebiti silu manjeg intenziteta. Dobijeni rezultat je u saglasnosti sa rezultatom koji su Rakshit i saradnici objavili u svom radu [10] gde su pokazali da sa porastom mase uzorka raste i jačina na probijanje netkanog materijala. Osim toga, vazduh koji ispunjava pore u suvom uzorku pruža manji otpor prodoru kugle u odnosu na vodu, koja ispunjava pore u mokrim uzorcima.

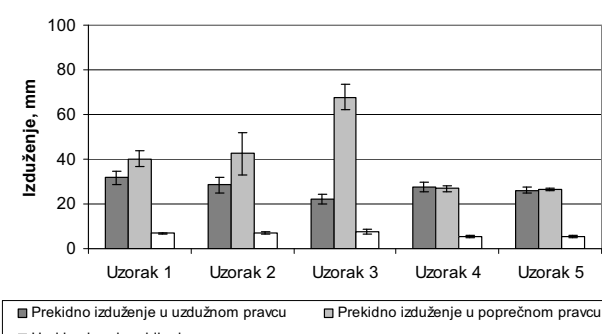
Razlog za odsustvo statistički značajne razlike u prekidnoj sili i sili probijanja mokrih i suvih uzorka 1 i 3 je najverovatnije posledica niže relativne promene vlažnosti ta dva uzorka prouzrokovana njihovim sušenjem (tabela 4). Međutim, kod uzorka 2, 4 i 5, kod kojih je

sušenje dovelo do sniženja vlažnosti uzorka za više od 85%, registrovane su statistički značajne razlike u prekidnoj sili i sili probijanja između mokrih i suvih uzorka.

Rezultati ispitivanja prekidnog izduženje i hoda kugle pri probijanju sunđerastih krpa odmah nakon njihovog vađenja iz komercijalnog pakovanja (mokri uzorci), i sušenja na vazduhu ( $T=30\text{ }^{\circ}\text{C}$ ,  $\varphi=40\%$ ) u trajanju od dva dana (suvi uzorci), prikazani su na slici 3.



(a)



(b)

**Slika 3:** Prekidno izduženje i hod kugle pri probijanju sunđerastih krpa: (a) mokri uzorci, (b) suvi uzorci

Histogrami prikazani na slici 3 pokazuju da ispitivani uzorci imaju različita prekidna izduženja određena u pravcu proizvodnje mašine (uzdužni pravac) i u pravcu normalnom na pravac proizvodnje maši-

**Tabela 4:** Vlažnost mokrih i suvih uzorka

Broj uzorka	Vlažnost mokrih uzoraka, %	Vlažnost suvih uzoraka, %	Relativna promena vlažnosti uzorka, %
1.	34,5	10,0	71,0
2.	43,3	3,1	92,8
3.	38,1	30,4	20,2
4.	29,8	3,1	89,6
5.	34,8	5,1	85,3

ne (poprečni pravac), kako u mokrom, tako i u suvom stanju. Dobijene razlike u prekidnim izduženjima nisu statistički značajne kod mokrog uzorka 2 i suvih uzorka 4 i 5 (tabela 3). Komparacijom rezultata prikazanih na slikama 3a i 3b uočava se smanjenje izduženja na suvih uzorcima, što je posledica niže vrednosti prekidnog izduženja pamuka, viskoze i PES vlakana u suvom u odnosu na prekidno izduženje u mokrom stanju [1]. Sušenje uzorka je dovelo do statistički značajnog smanjenja prekidnog izduženja na svim uzorcima u uzdužnom pravcu i kod uzorka 1, 4 i 5 u poprečnom pravcu. Takođe, kod istih uzorka (uzorci 1, 4 i 5) je registrovano da odležavanje uzorka na vazduhu doveđi do statistički značajne promene u hodu kugle pri probijanju. Na osnovu sprovedene statističke analize, primenom *t*-testa, može se konstatovati da je sušenje uzorka imalo veći uticaj na prekidno izduženje nego na prekidnu silu, što se prvenstveno može objasniti činjenicom da se prisutna voda u vlažnim uzorcima ponaša kao plastifikator i da njeno uklanjanje doveđi do reorganizacije strukture vlakana, a samim tim i promene prekidnih karakteristika uzorka, pri čemu su promene prekidnog izduženja izraženije [11].

Rezultati prikazani na slikama 2 i 3 pokazuju da su se ispitivani uzorci međusobno razlikovali u svim određivanim prekidnim karakteristikama (prekidnoj sili i izduženju, sili probijanja i hodu kugle pri probijanju). Rezultati sprovedene statističke analize su prikazani u tabeli 5.

Sprovedena statistička analiza je pokazala da kako mokri, tako i suvi uzorci 1 i 2 poseduju statistič-

ki značajno više vrednosti prekidnih karakteristika u odnosu na uzorak 3. Takođe, može se konstatovati da se uzorci 4 i 5 ne razlikuju statistički značajno ni u jednom ispitivanom prekidnom svojstvu. Saglasnost rezultata u ispitivanim prekidnim karakteristikama za ova dva uzorka je evidentirana kako u mokrom, tako i u suvom stanju.

Izgled uzorka 1, kao predstavnika sunđerastih krpa bez poliestarske mreže i uzorka 5 kao predstavnika sunđerastih krpa sa poliestarskom mrežom, snimljenih pre, u trenutku prekida i posle probijanja metalnom kuglom prikazani su na slici 4.

Slike 4 se uočava da uzorak sa poliestarskom mrežom (uzorak 5) ima ravnomernu liniju prekida (slika 4b-donja slika), dok se kod uzorka bez poliestarske mreže (uzorak 1) formira nazubljen prekid (slika 4b-gornja slika). Ravnomeren prekid kod uzorka 5 se može objasniti prisustvom poliestarske mreže u strukturi ovog uzorka. Pri probijanju uzorka kuglom nastaje trag koji ostavlja kugla usled pritiska na materijal (slika 4c). Ovaj trag je izraženiji kod uzorka 5 koji poseduje veću krutost usled prisustva poliestarske mreže.

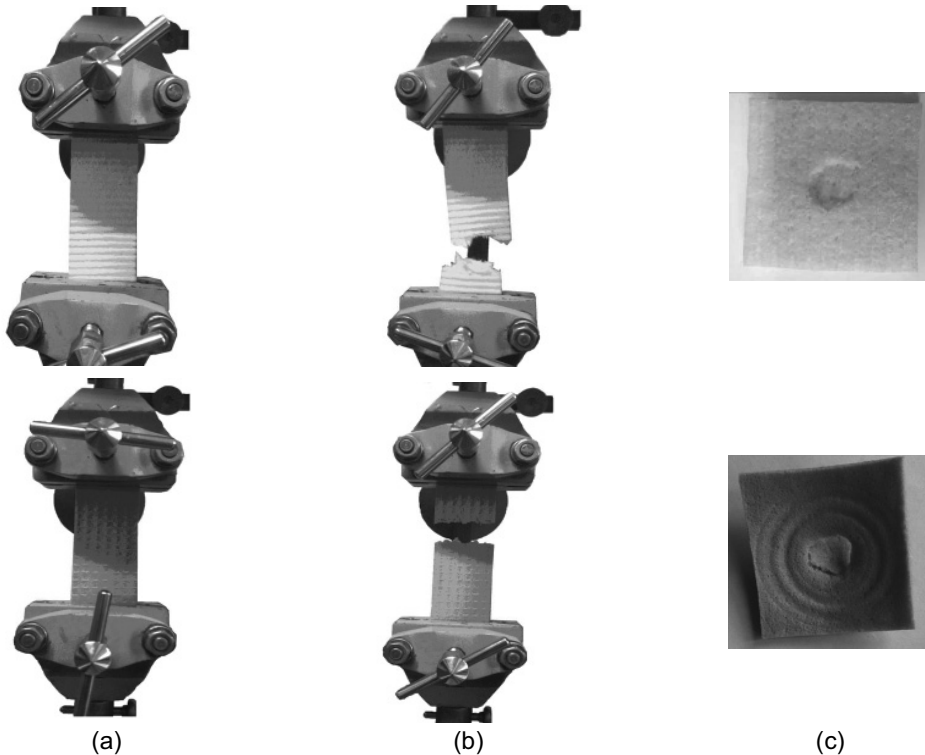
### 3.2. Ocena kvaliteta sunđerastih krpa

Rezultati ocene kvaliteta ispitivanih uzorka dobijeni izračunavanjem kompleksnog koeficijenta kvaliteta ( $Q_k$ ), za ispitivana prekidna svojstva, prikazani su u tabeli 6.

**Tabela 5.** Statistička analiza za prekidna svojstva između sunđerastih krpa

Parametar $ t $	$F_{UP}$	$I_{UP}$	$F_{PP}$	$I_{PP}$	$F_b$	$f$
Mokri uzorci						
$ t _{1/2}$	0,75	0,65	3,30*	1,73	0,64	2,00
$ t _{1/3}$	2,96*	5,44***	5,69***	4,36**	7,43***	2,08
$ t _{2/3}$	6,22***	4,86**	11,12***	6,32***	9,71***	2,88*
$ t _{4/5}$	1,81	0,00	0,09	0,65	0,32	1,70
SUVI uzorci						
$ t _{1/2}$	1,03	1,79	0,95	0,61	5,42***	0,00
$ t _{1/3}$	5,48***	6,50***	10,00***	10,76***	8,21***	2,28
$ t _{2/3}$	5,34***	3,89**	4,34**	5,88***	2,81*	2,11
$ t _{4/5}$	2,12	1,47	0,37	0,36	1,67	0,58

Legenda:  $F_{UP}$  – prekidna sila u uzdužnom pravcu;  $I_{UP}$  - prekidno izduženje u uzdužnom pravcu;  $F_{PP}$ –prekidna sila u poprečnom pravcu;  $I_{PP}$  - prekidno izduženje u poprečnom pravcu;  $F_b$  – sila probijanja;  $f$  – hod kugle pri probijanju; 1, 2, 3, 4 i 5 – broj uzorka; \*-nivo značajnosti 0,05; \*\*- nivo značajnosti 0,01; \*\*\*-nivo značajnosti 0,001.



**Slika 4:** Fotografije uzorka 1 (gornje slike) i uzorka 5 (donje slike): (a) pre kidanja; (b) u trenutku prekida; (c) nakon probijanja

**Tabela 6:** Ocena kvaliteta sunđerastih krpa

Broj uzorka	$Q_1$	$Q_2$	$Q_3$	$Q_4$	$Q_5$	$Q_6$	$Q_k$
Mokri uzorci							
1.	0,90	0,93	0,73	0,68	0,90	0,94	0,83
2.	0,93	0,95	0,91	0,59	0,93	0,91	0,85
3.	0,72	0,70	0,44	0,93	0,58	0,98	0,67
4.	0,93	0,69	0,89	0,94	0,92	0,96	0,88
5.	0,96	0,69	0,89	0,93	0,93	0,91	0,87
SUVI uzorci							
1.	0,89	0,91	0,91	0,56	0,94	0,85	0,82
2.	0,84	0,82	0,82	0,59	0,74	0,85	0,76
3.	0,63	0,63	0,47	0,94	0,60	0,96	0,66
4.	0,95	0,92	0,95	0,96	0,97	0,83	0,93
5.	0,90	0,87	0,94	0,95	0,94	0,86	0,91

Legenda:  $Q_1$  – koeficijent usaglašenosti prekidne sile u uzdužnom pravcu,  $Q_2$  – koeficijent usaglašenosti prekidnog izduženja u uzdužnom pravcu,  $Q_3$  – koeficijent usaglašenosti prekidne sile u poprečnom pravcu,  $Q_4$  – koeficijent usaglašenosti prekidnog izduženja u poprečnom pravcu,  $Q_5$  – koeficijent usaglašenosti sile probijanja,  $Q_6$  – koeficijent usaglašenosti hoda kugle pri probijanju,  $Q_k$  – kompleksni koeficijent kvaliteta.

Imajući u vidu gradaciju kvaliteta datu u tabeli 2 može se konstatovati da samo uzorak 3 poseduje dobar kvalitet, dok ostala četiri uzorka (uzorci 1, 2, 4 i 5) imaju odličan kvalitet kako u mokrom, tako i u suvom stanju. Poredeći kvalitet uzoraka 1, 2 i 3, koji su istog sirovinskog sastava i postupka dobijanja, na osnovu

kompleksnog koeficijenta kvaliteta, može se zaključiti da uzorci 1 i 2 u komercijalnom (mokrom) stanju imaju približan kvalitet, a da uzorak 1 pokazuje nešto bolji kvalitet kada se nalazi u suvom stanju. Za uzorke 4 i 5, koji su ojačani poliestarskom mrežom, na osnovu kompleksnog koeficijenta kvaliteta se može reći da je

reč o uzorcima sličnog kvaliteta kako u mokrom, tako i u suvom stanju.

#### 4. ZAKLJUČAK

Dobijeni rezultati su pokazali da kod ispitivanih sunđerastih krpa, kako u mokrom, tako i u suvom stanju, postoje statistički značajne razlike između prekidnih sila i između prekidnih izduženja određenih u pravcu proizvodnje mašine (uzdužni pravac) i u pravcu normalnom na pravac proizvodnje mašine (poprečni pravac). Izuzetak predstavlja uzorak 1 kod koga nisu registrovane značajne razlike u prekidnoj sili određenoj u uzdužnom i poprečnom pravcu. Statistički značajne razlike u prekidnoj sili i sili probijanja između mokrih i suvih uzoraka su registrovane u slučajevima gde je sušenje dovelo do sniženja vlažnosti uzoraka za više od 85%. Sušenje je uzrokovalo statistički značajno smanjenje prekidnog izduženja svih uzoraka u uzdužnom pravcu, a kod uzoraka 1, 4 i 5 i u poprečnom pravcu, kod kojih su registrovane i statistički značajne promene u hodu kugle pri probijanju.

Rezultati ocene kvaliteta ispitivanih krpa u mokrom i suvom stanju su pokazali da uzorak 3 poseduje dobar, a ostala četiri uzorka odličan kvalitet. U mokrom stanju uzorci 1 i 2 imaju približan kvalitet, dok uzorak 1 pokazuje nešto bolji kvalitet u suvom stanju. Uzorci koji su ojačani poliestarskom mrežom (uzorci 4 i 5) su sličnog kvaliteta, kako u mokrom, tako i u suvom stanju.

#### ZAHVALNICA

Ovaj rad je proistekao iz rada na Projektu OI 172029 koga finansira Ministarstvo prosvete, nauke i tehnološkog razvoja Republike Srbije.

#### REFERENCE

- [1] Škundrić, P., Kostić, M., Medović, A., Mihailović, T., Asanović, K., Sretković, L.J. (2008). *Tekstilni materijali*, udžbenik, Tehnološko-metalurški fakultet, Beograd.
- [2] Albrecht, W., Fuchs, H., Kittelmann, W. (2003). *Nonwoven Fabrics*, WILEY-VCH Verlag GmbH & Co. KgaA: Weinheim.
- [3] Lukić, S., Asanović K., Jovanić P. (1999) Modelovanje svojstava netkanih tekstilnih materijala dobijenih procesom termofiksiranja, *Tekstilna industrija*, 47(5-7), 17-20.
- [4] Kopitar, D., Skenderi, Z., Matijasic, G. (2017). Influence of nonwoven fabric pore sizes on water vapor resistance, *Textile Research Journal*, DOI: 10.1177/0040517517700200., 88 (12), 1402-1412
- [5] Dubrovski, P.D., Brezocnik, M. (2016). Porosity and Nonwoven Fabric Vertical Wicking Rate, *Fibers and Polymers*, 17(5), 801-808.
- [6] ISO 9073-3: 1989 Textiles-Test Methods for Nonwovens-Part 3: Determination of tensile strength and elongation.
- [7] Mihailović, T., Asanović, K. (2005). Pranje kao faktor kvaliteta tkanine na bazi konoplje, 43 *Savetovanje Srpskog hemijskog društva*, Beograd 24-25 januar 2005, 247-250.
- [8] Asanovic, K., Mihailovic, T., Cerovic, D. (2017). Evaluation of the Quality of Clothing Fabrics in Terms of Their Compression Behaviour before and after Abrasion, *Fibers and Polymers*, 18 (7), 1393-1400.
- [9] Nikolić, M., Mihailović, T., Nikolić, S., Simović, Lj. (1995.) Metodologija ocenjivanja tkanina sa aspekta ponašanja pri dejstvu polucikličnog i jednocikličnog naprezanja, *Tekstilna industrija*, 43(7-9), 11-20.
- [10] Rakshit, A.K., Desai, A.N., Balasubramanian, N. (1990). Engineering needle-punched nonwovens to achieve desired physical properties, *Indian Journal of Fibre and Textile Research*, 15(2), 41-48.
- [11] Široká, B., Manian, A.P., Noisternig, M.F., Henniges, U., Kostic, M., Potthast, A., Griesser, U.J., Bechtold, T. (2012). Wash-dry cycle induced changes in low-ordered parts of regenerated cellulosic fibers, *Journal of Applied Polymer Science*, 126(S1), E396-E407.

Rad primljen: 16.01.2019.

Rad prihvaćen: 1.03.2019.